

1/35  
Cantell et al.  
BUR920010036US1

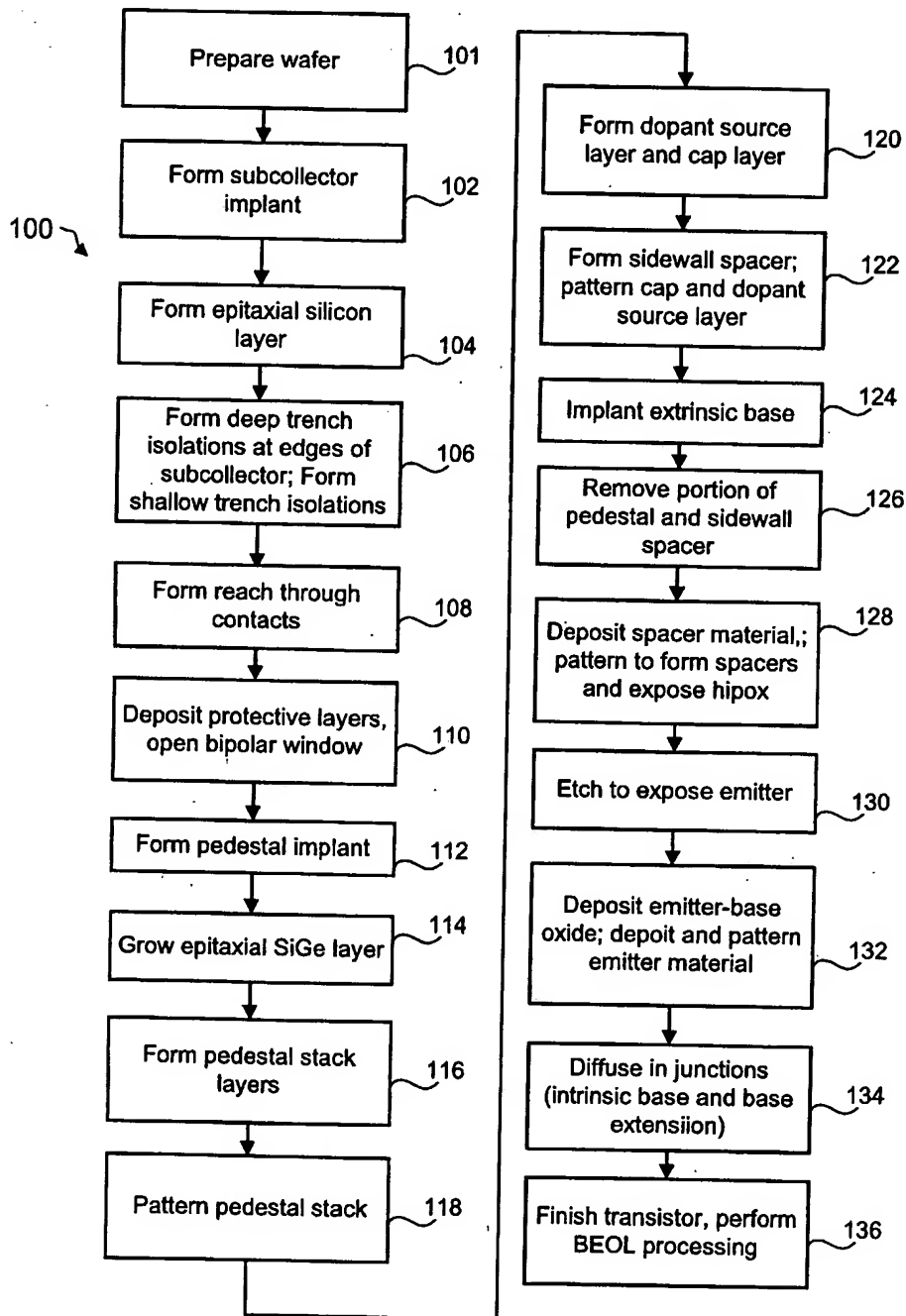


FIG. 1

2/35  
BUR920010036US1

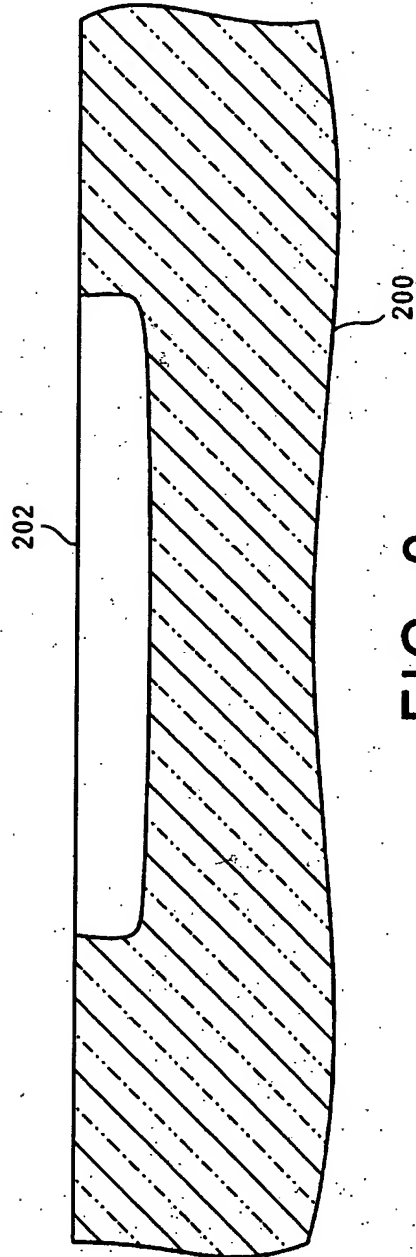


FIG. 2

3/35  
BUR920010036US1

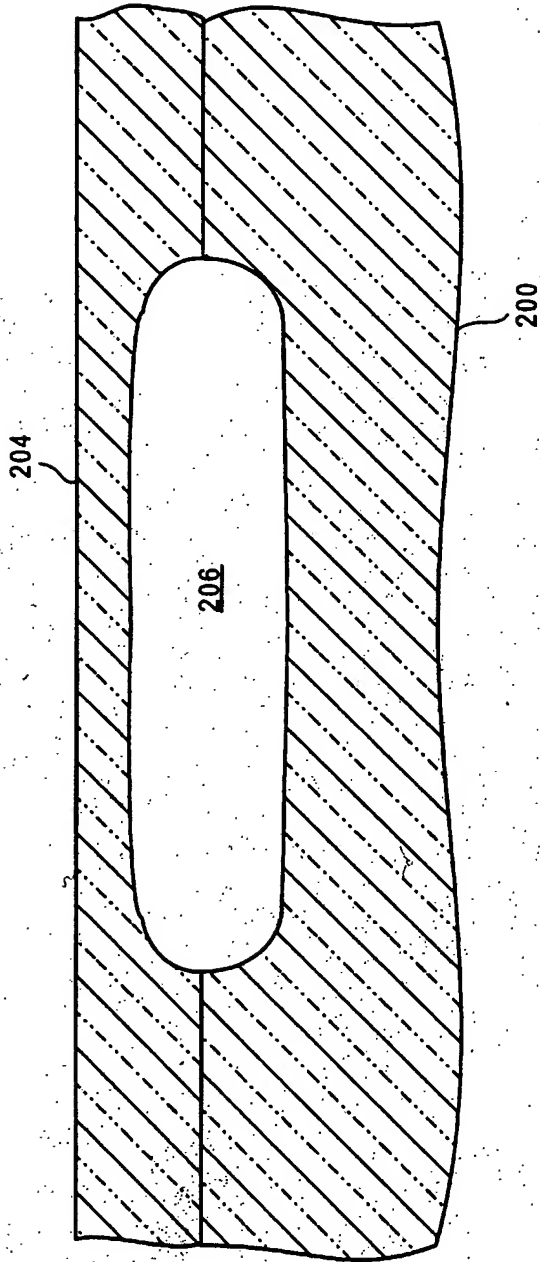


FIG. 3

4/35  
BUR920010036US1

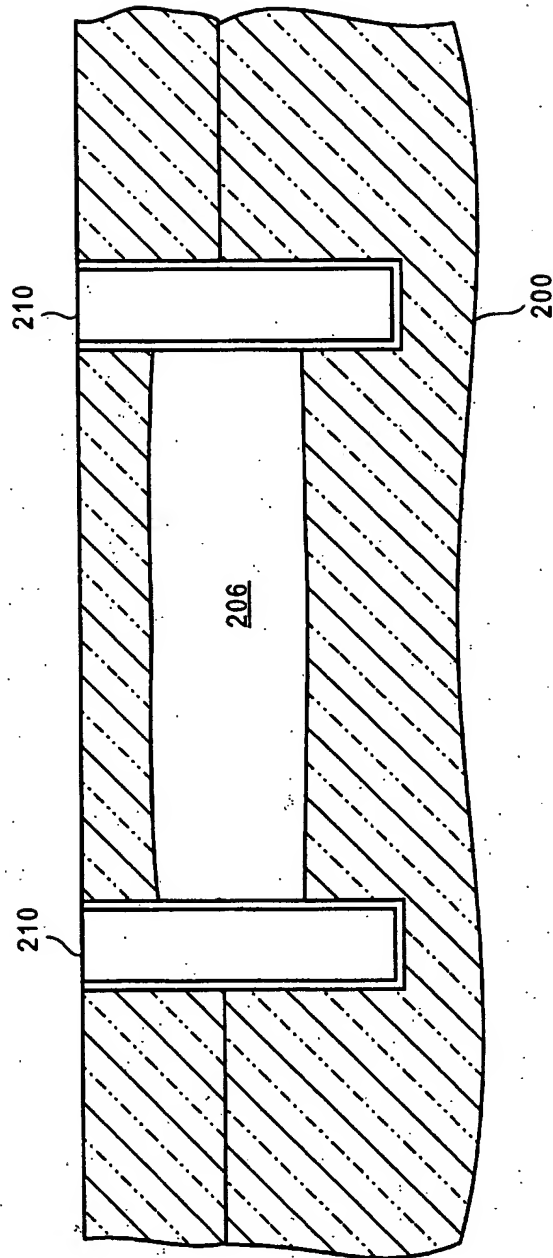


FIG. 4

5/35  
BUR920010036US1

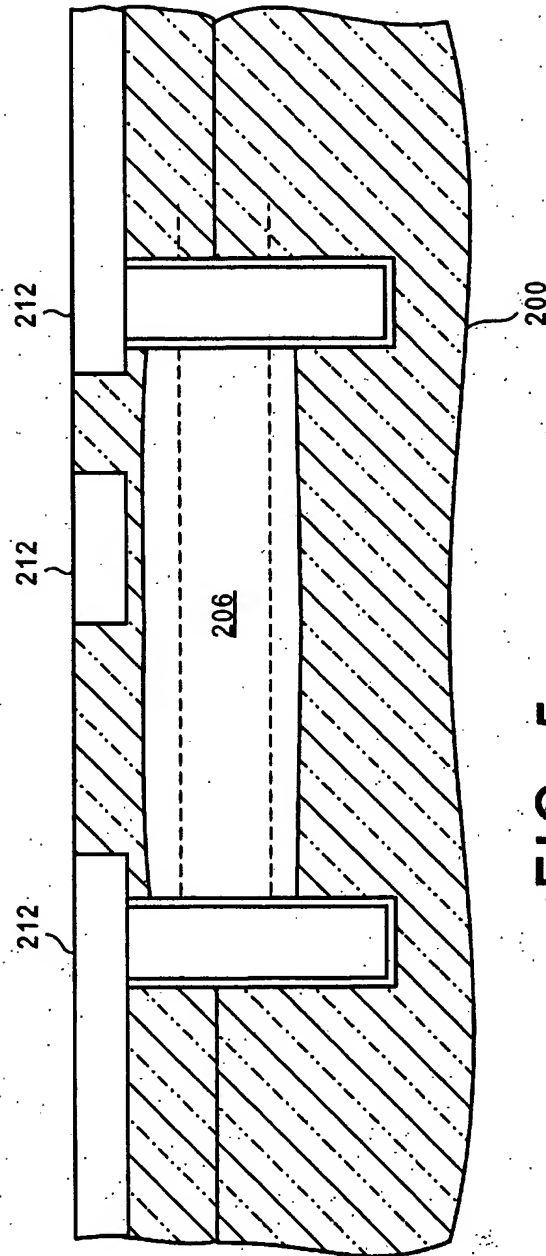


FIG. 5

6/35  
BUR920010036US1

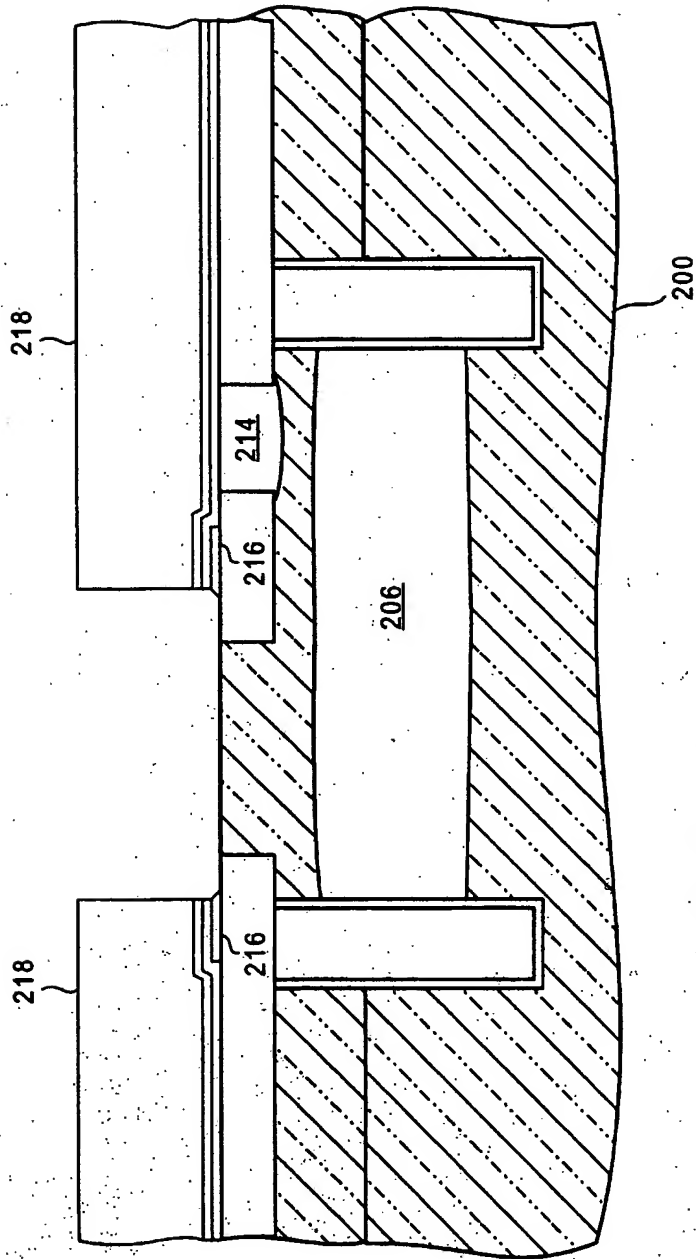


FIG. 6

7/35  
BUR920010036US1

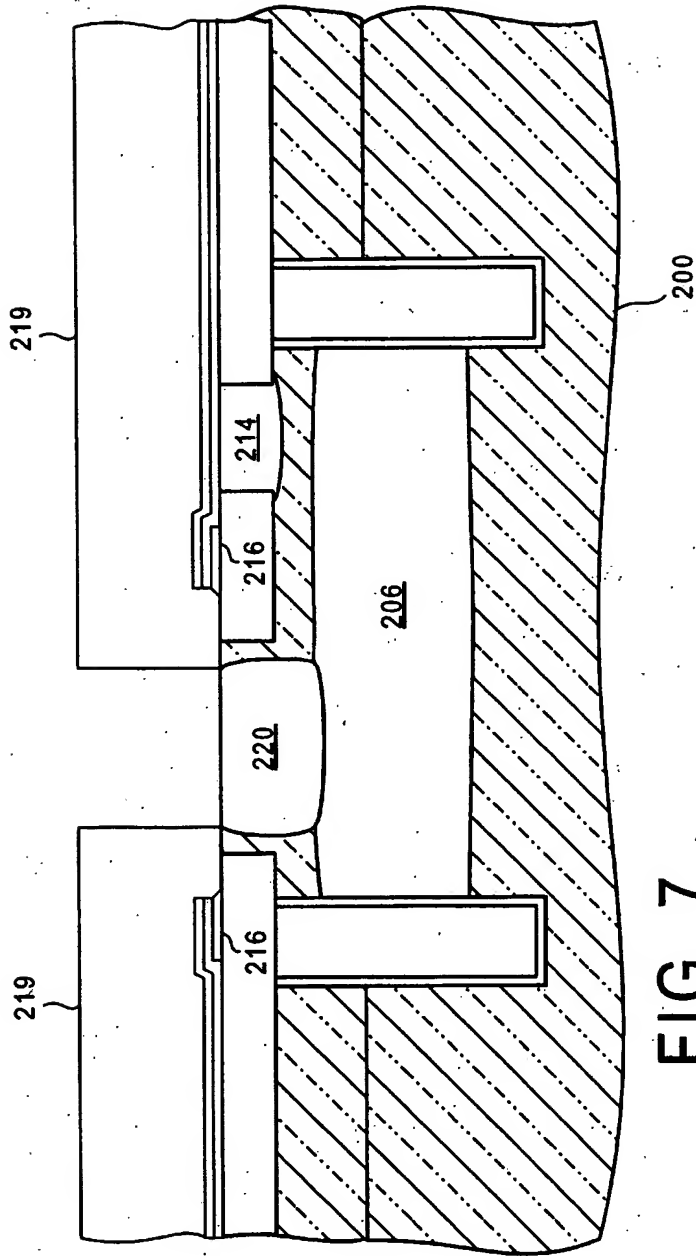


FIG. 7

8/35  
BUR920010036US1

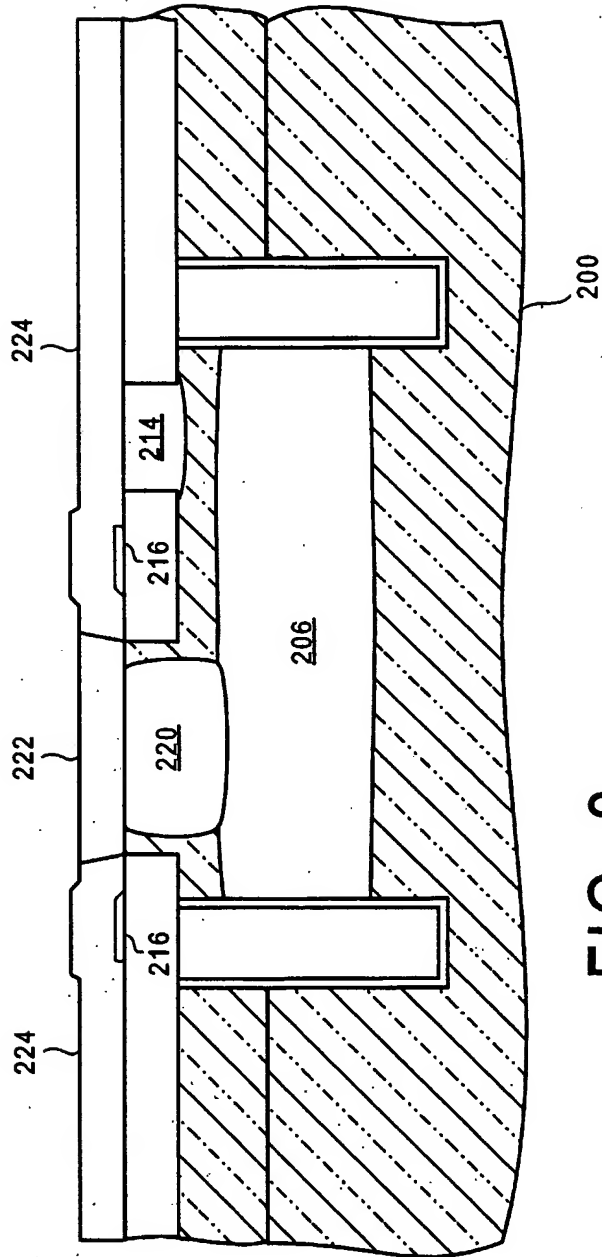


FIG. 8



9/35-  
BUR920010036US1

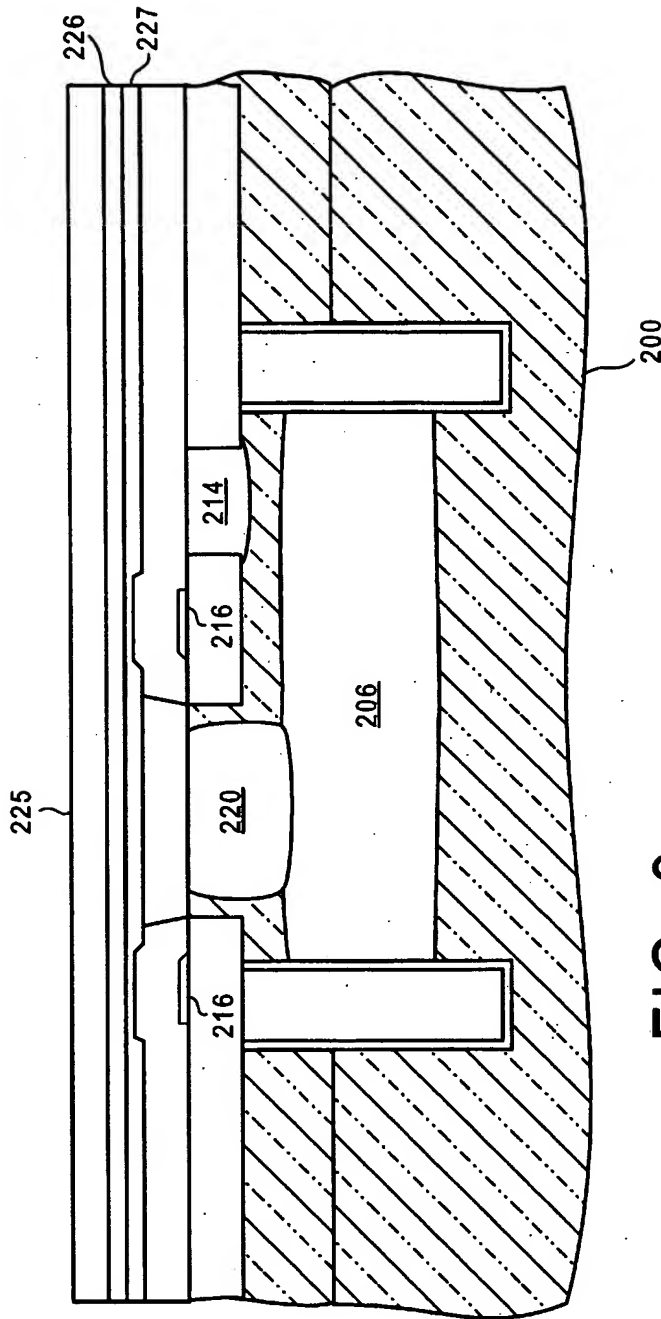


FIG. 9

10/35  
BUR920010036US1

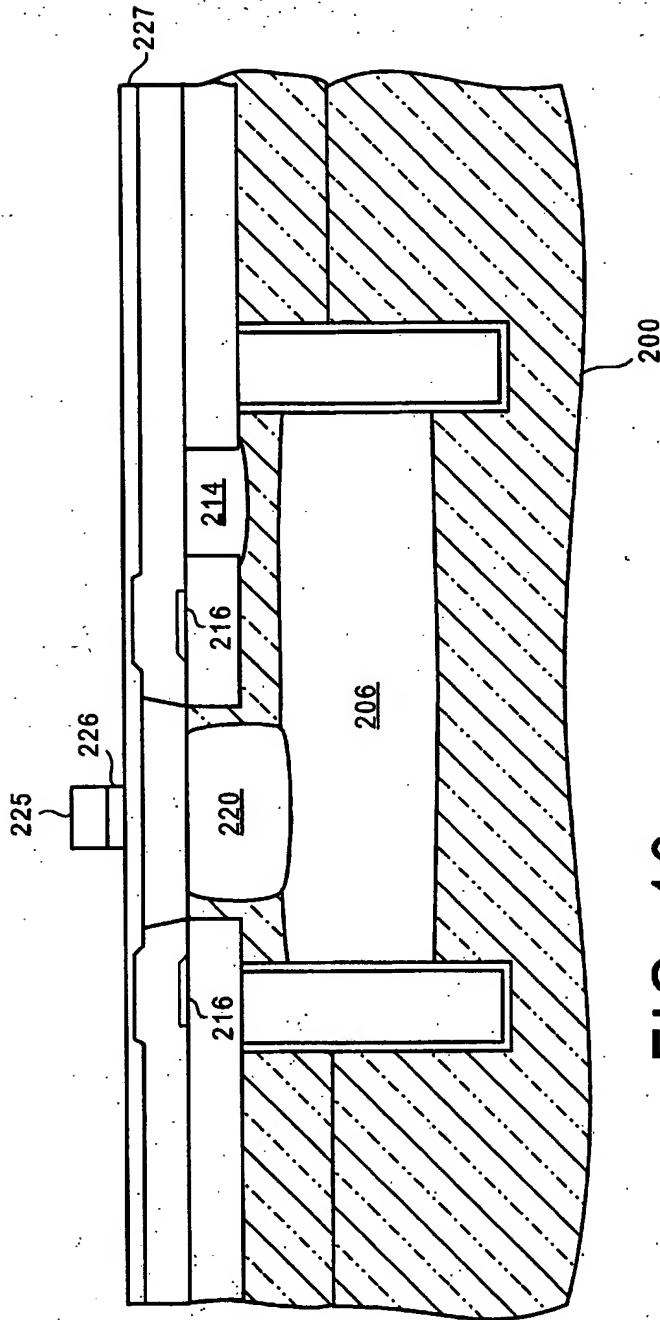


FIG. 10

11/35  
BUR920010036US1

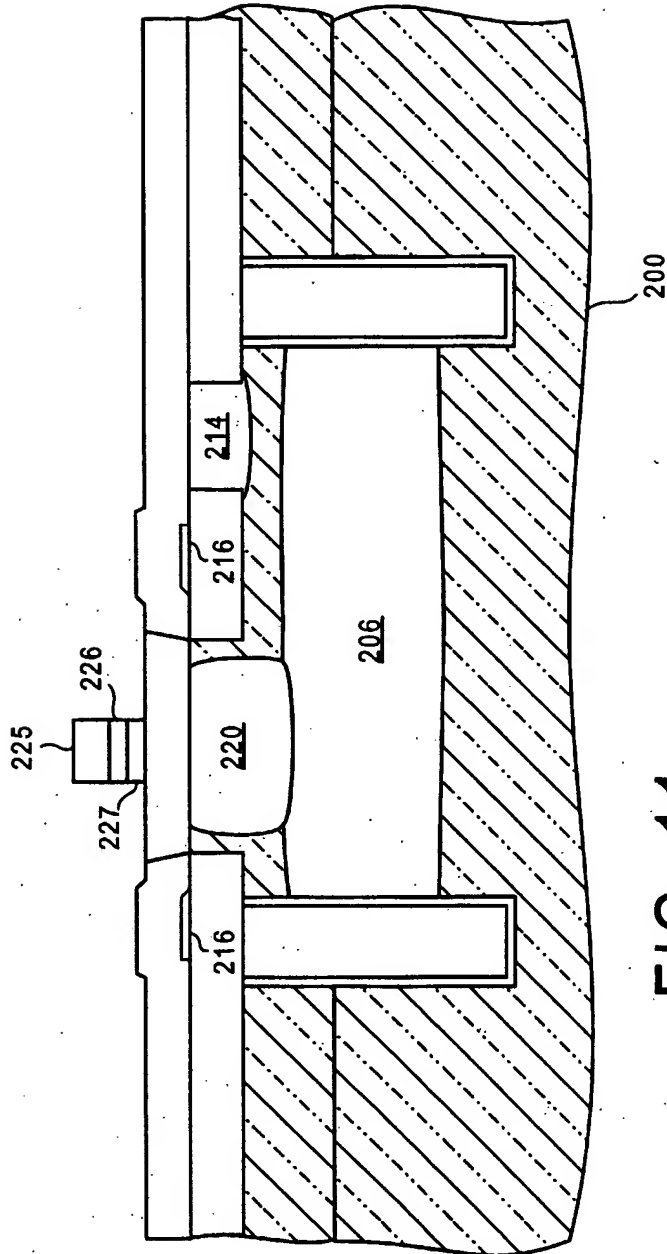


FIG. 11

12/35  
BUR920010036US1

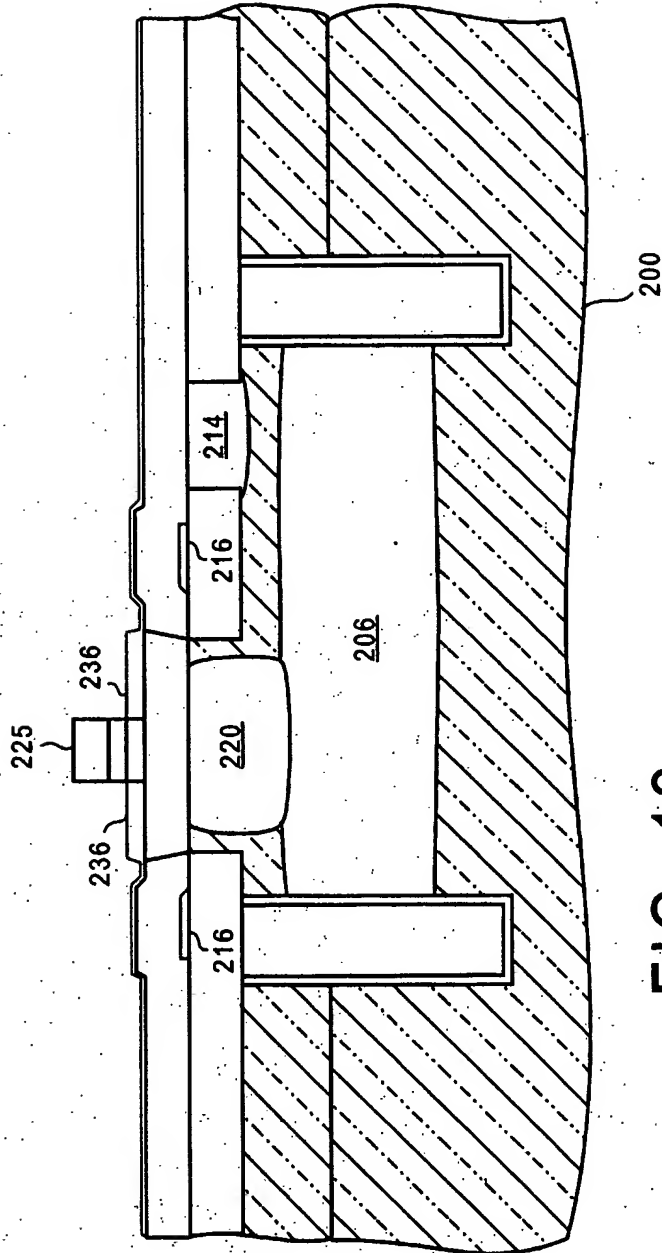


FIG. 12

13/35  
BUR920010036US1

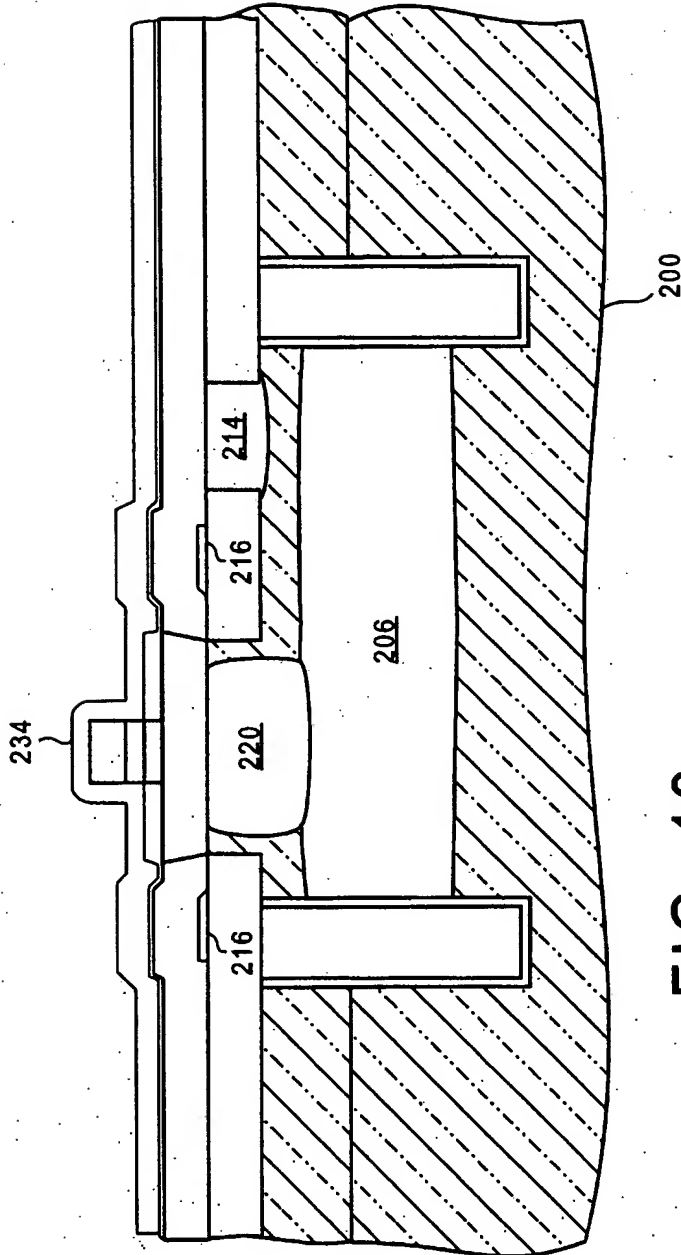


FIG. 13

14/35  
BUR920010036US1

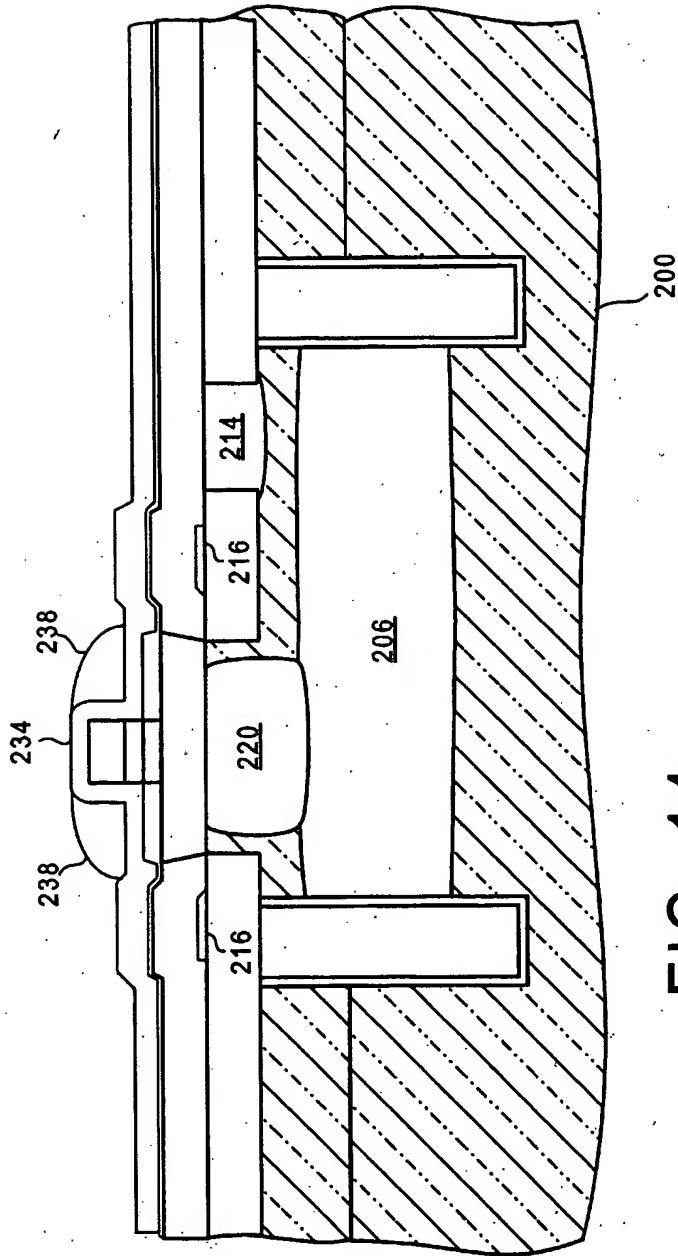


FIG. 14

15/35  
BUR920010036US1

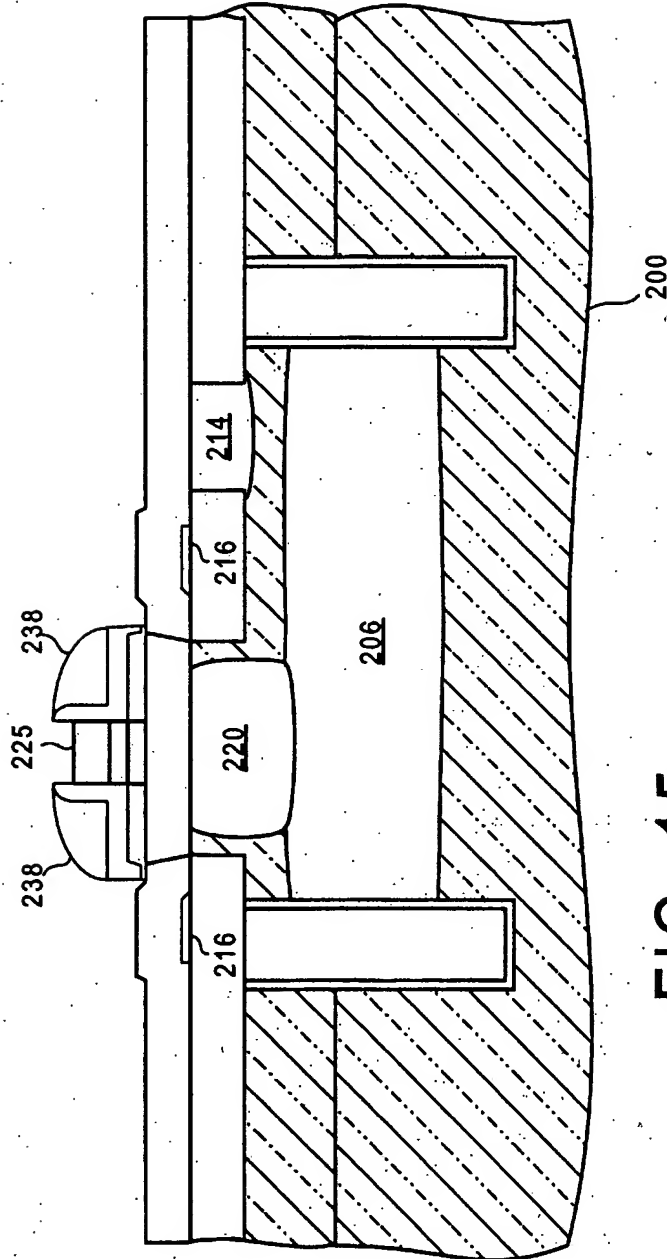


FIG. 15

16/35  
BUR920010036US1

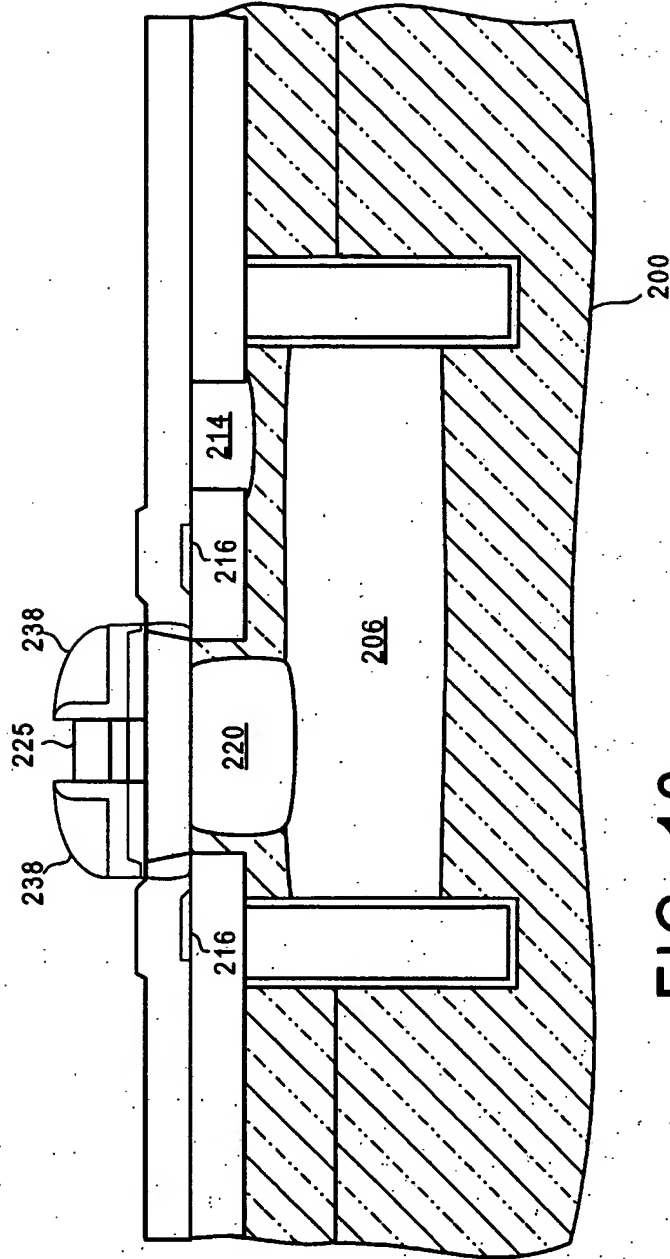


FIG. 16



17/35  
BUR920010036US1

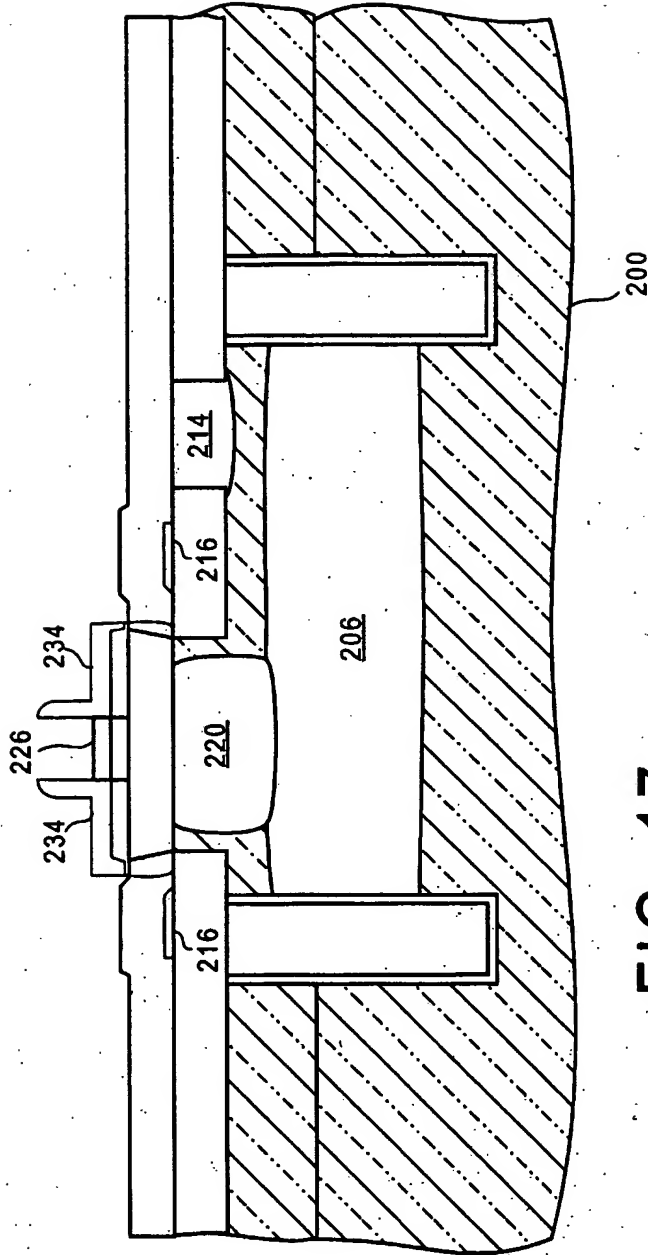


FIG. 17

18/35  
BUR920010036US1

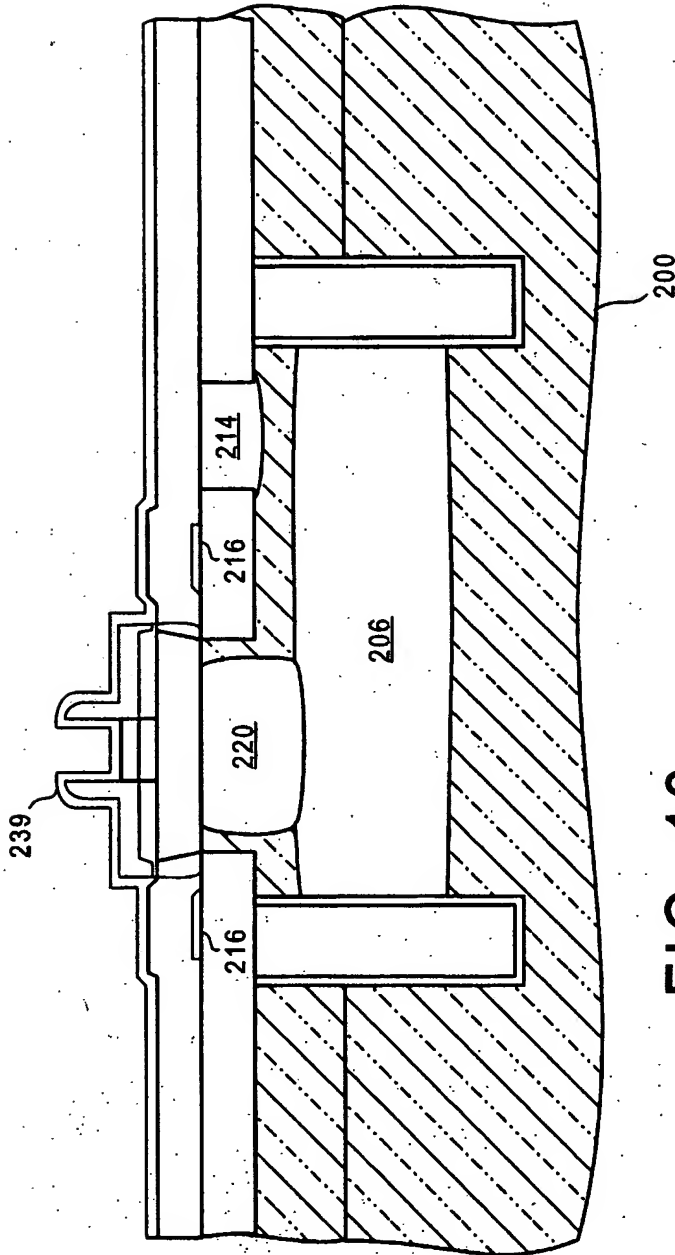


FIG. 18

19/35  
BUR920010036US1

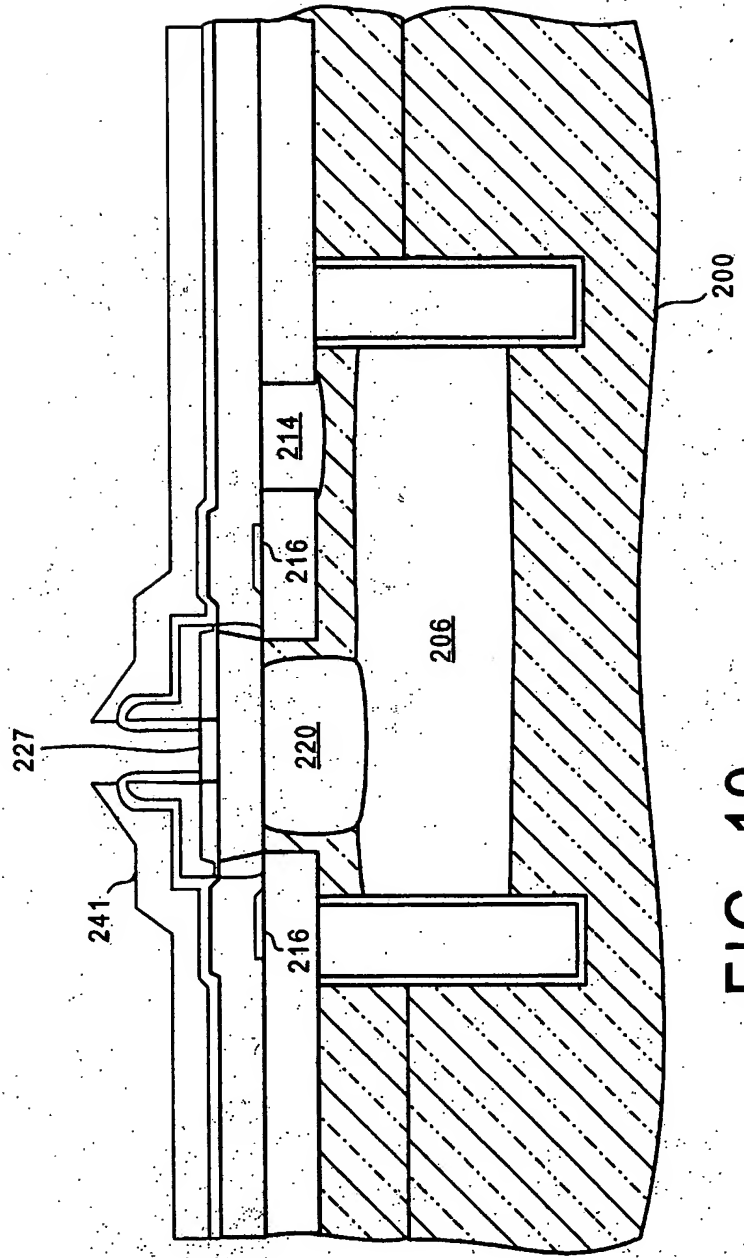


FIG. 19

20/35  
BUR920010036US1

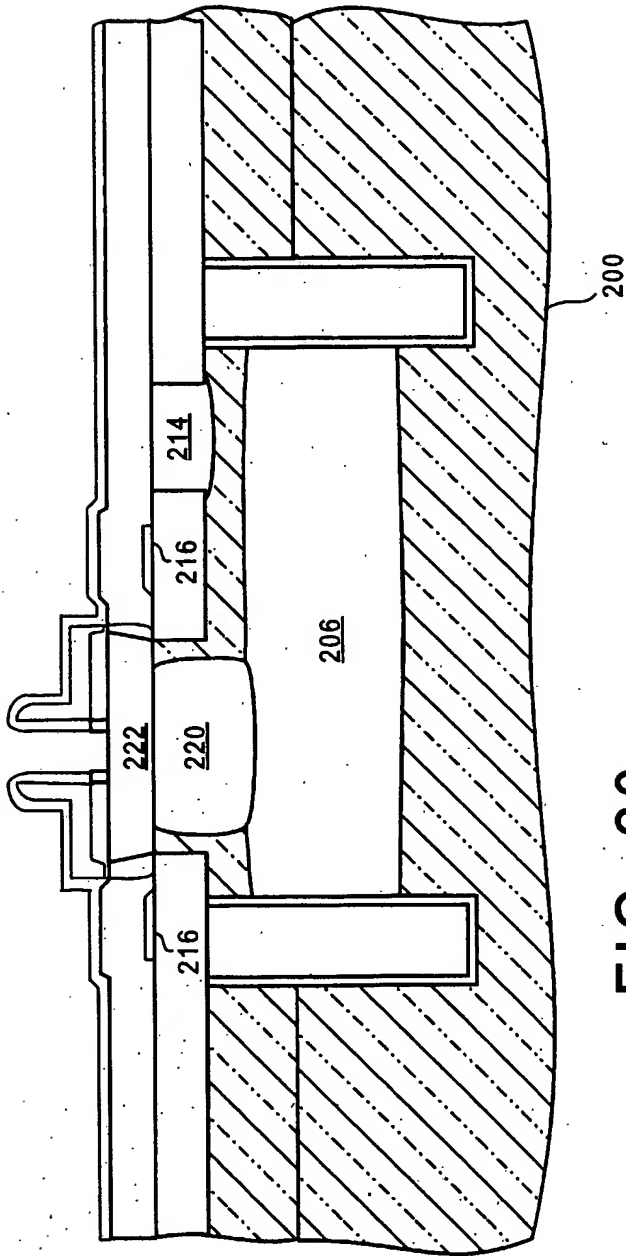


FIG. 20

21/35  
BUR920010036US1

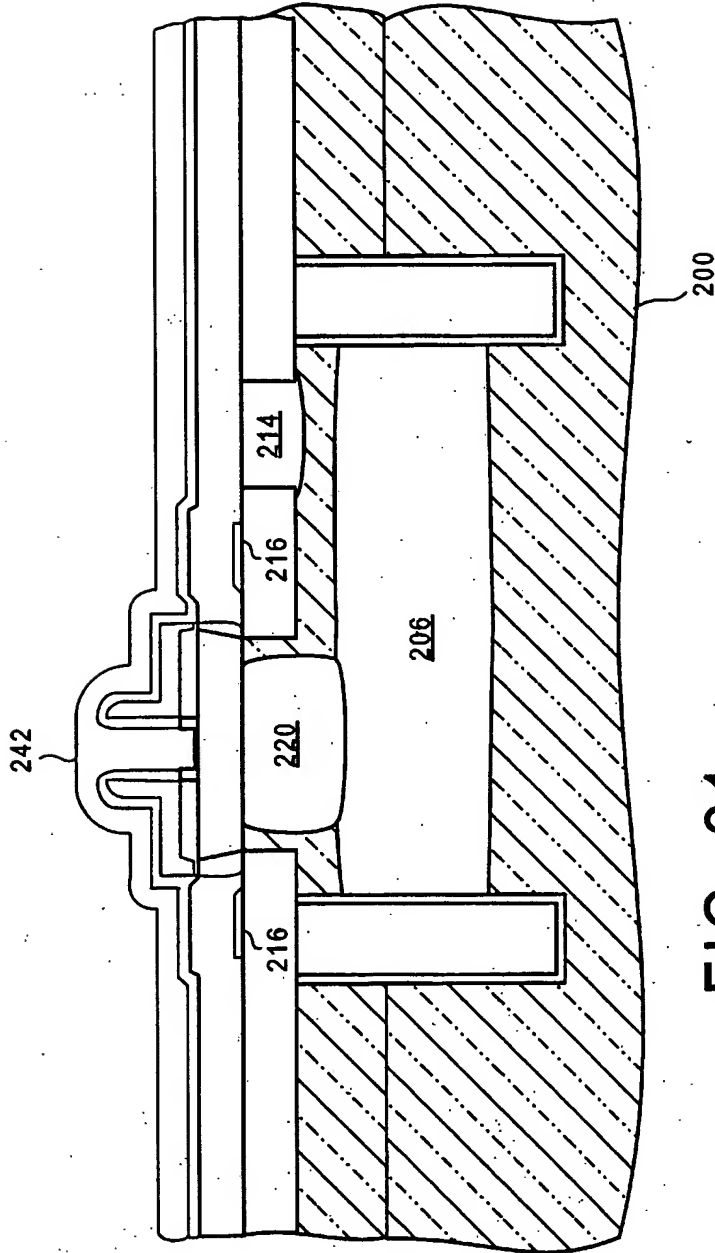


FIG. 21

22/35  
BUR920010036US1

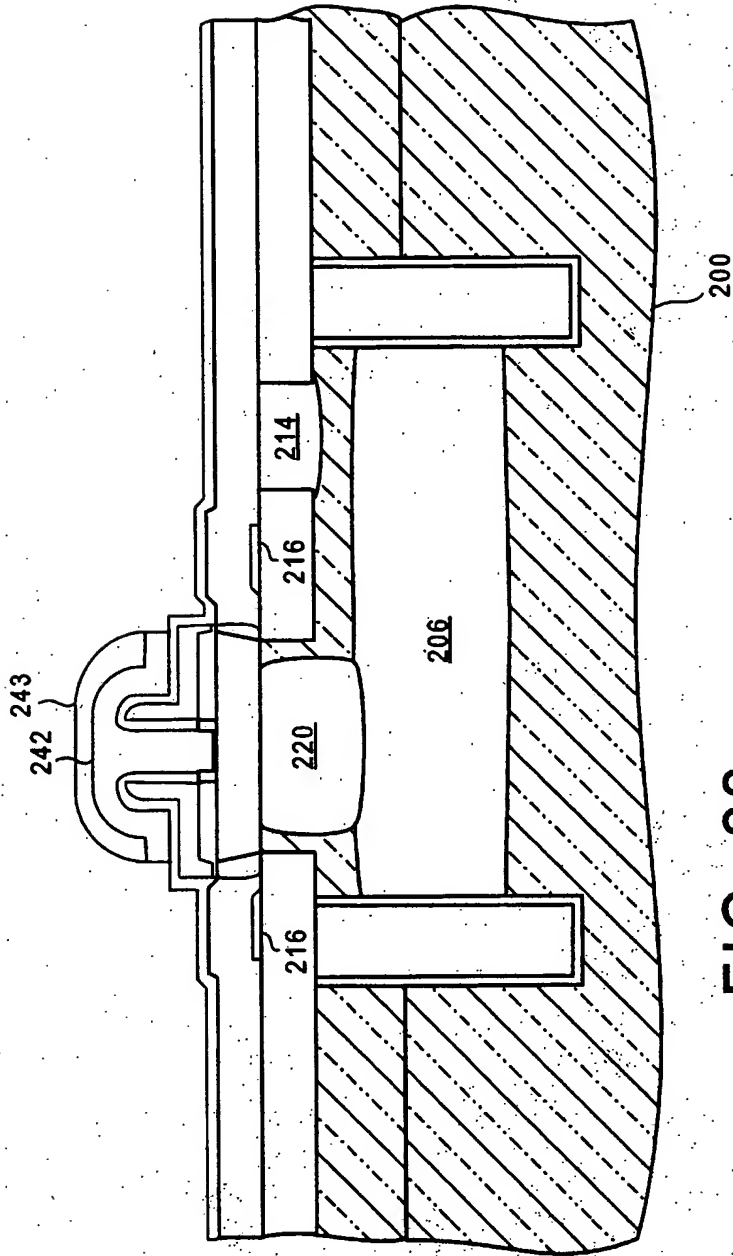


FIG. 22

23/35  
BUR920010036US1

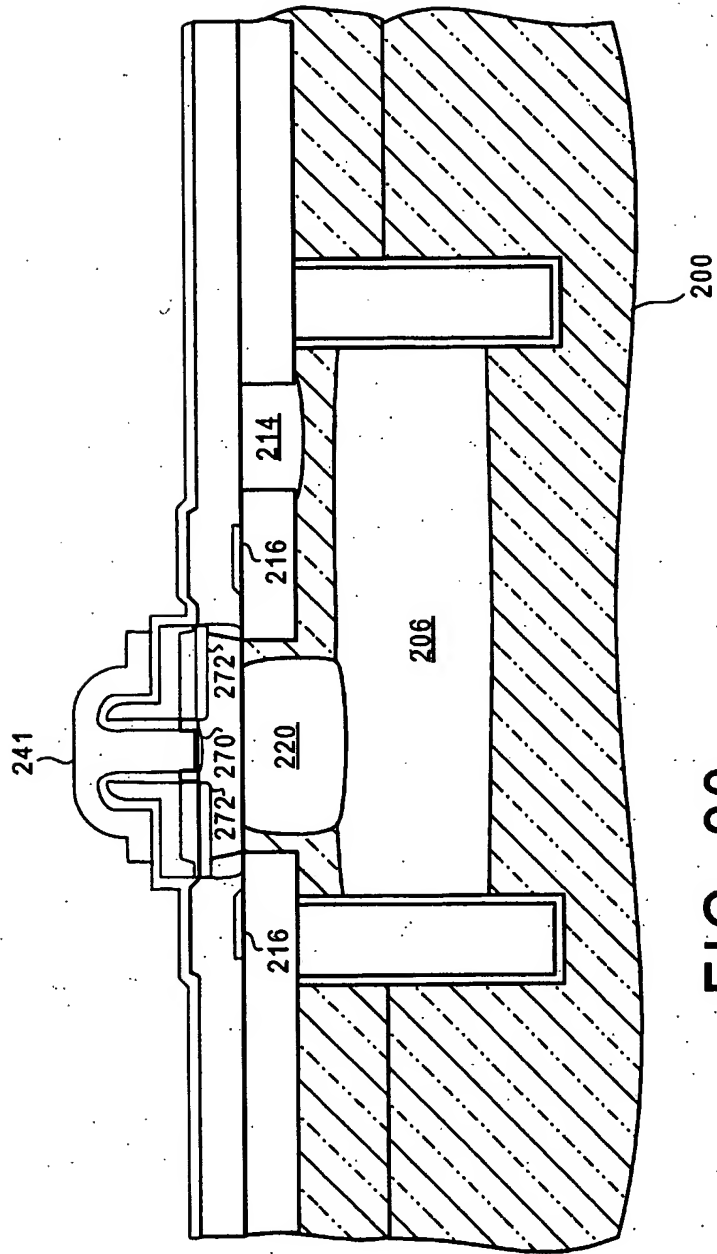
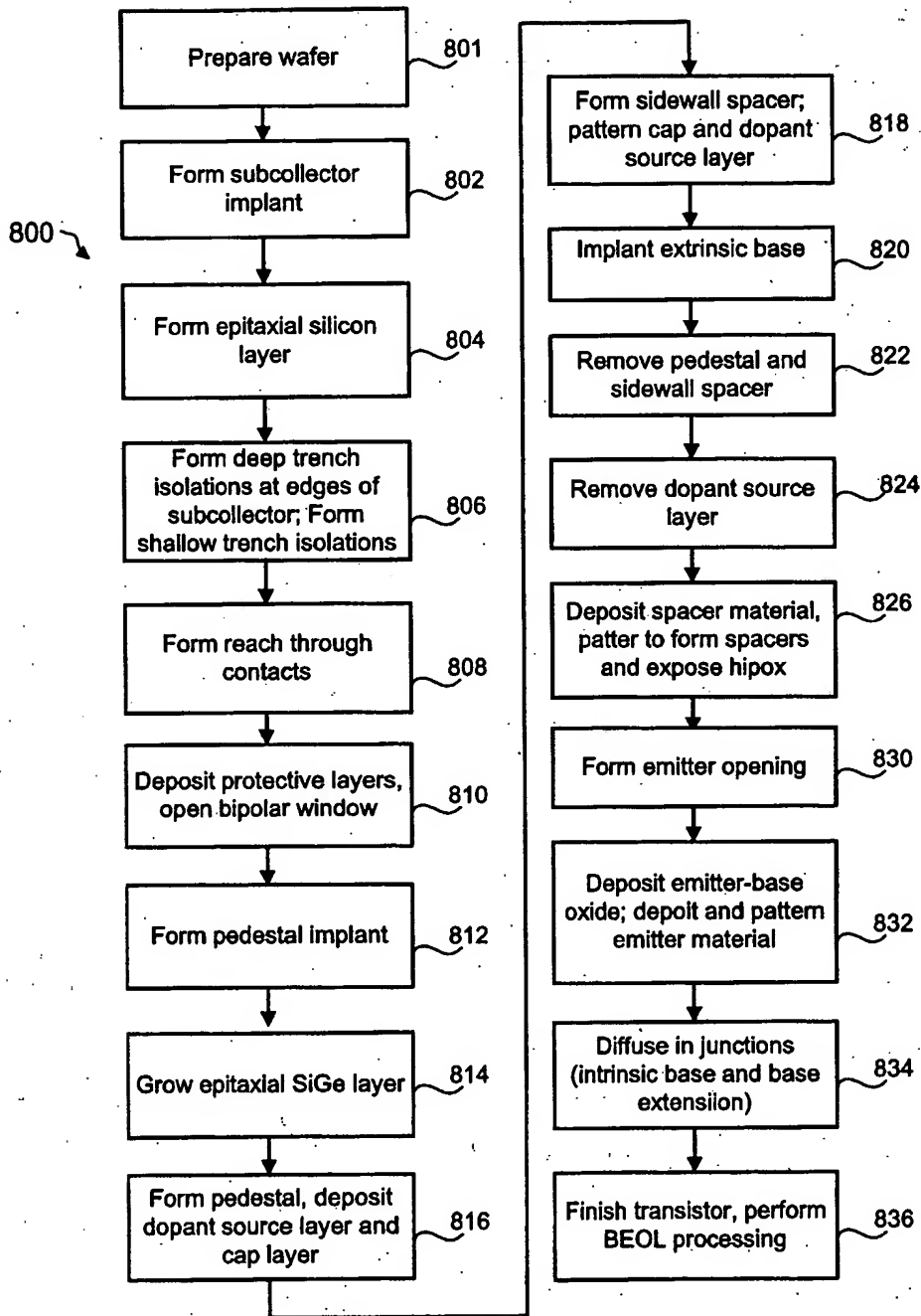


FIG. 23

24/35  
BUR920010036US1





25/35  
BUR920010036US1

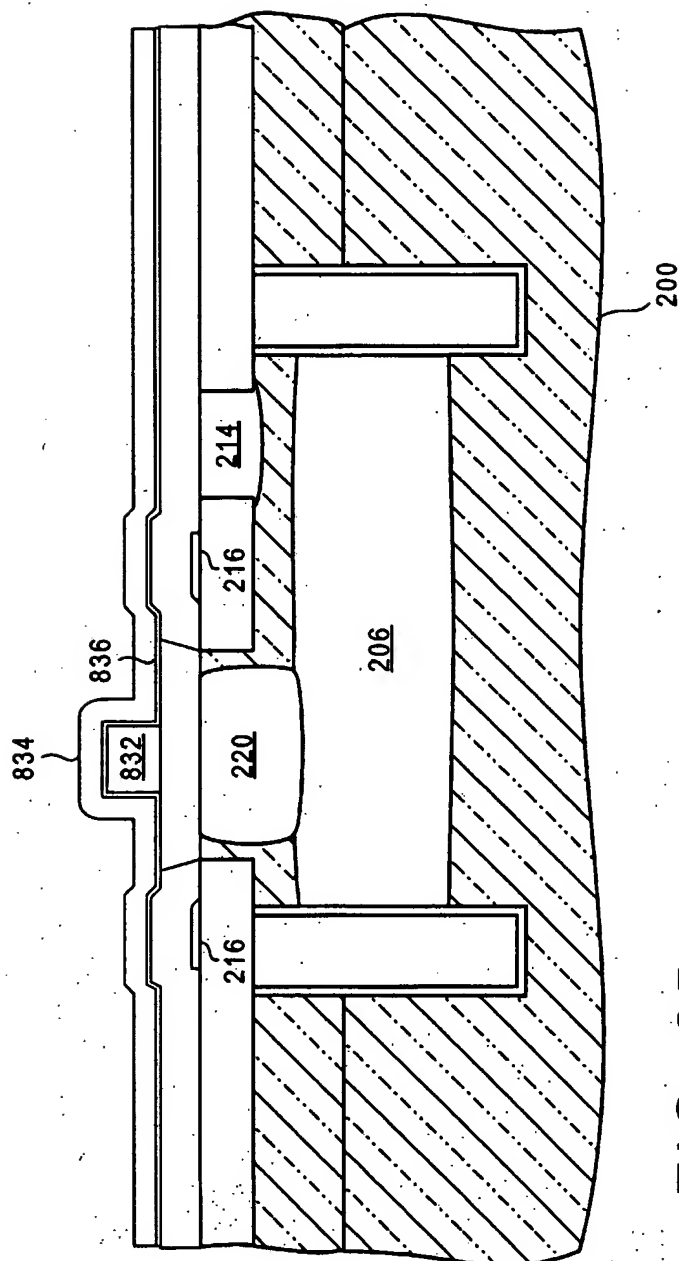


FIG. 25

26/35  
BUR920010036US1

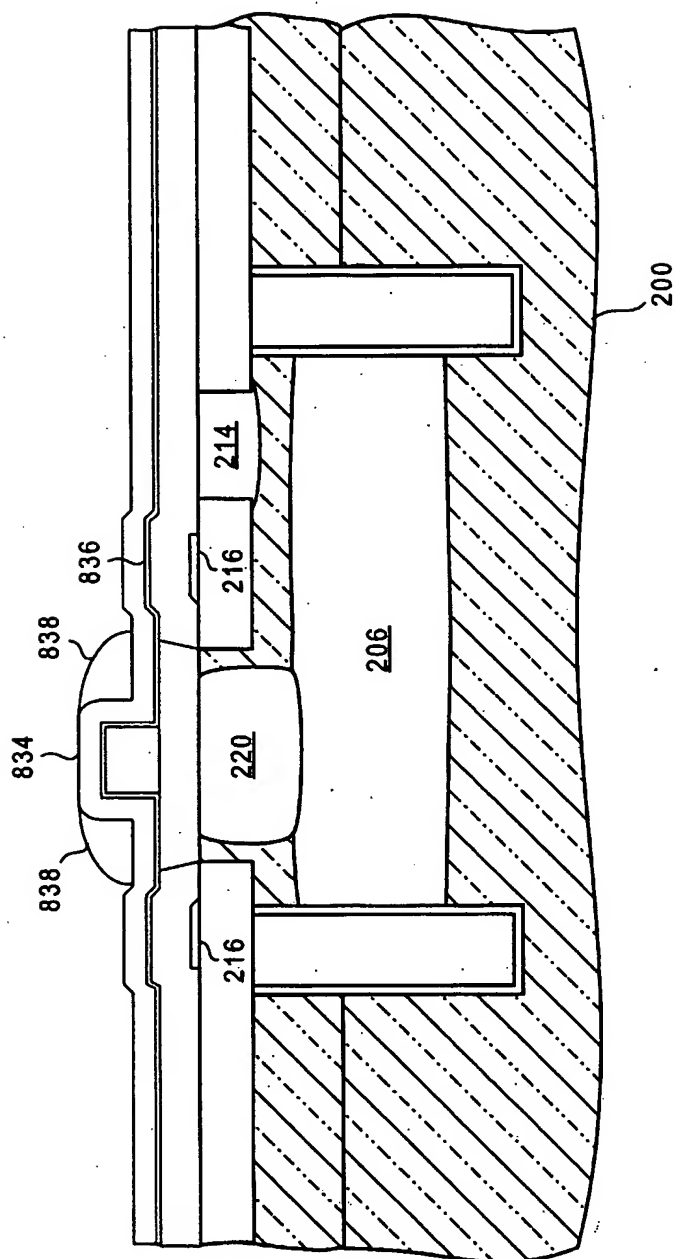


FIG. 26

27/35  
BUR920010036US1

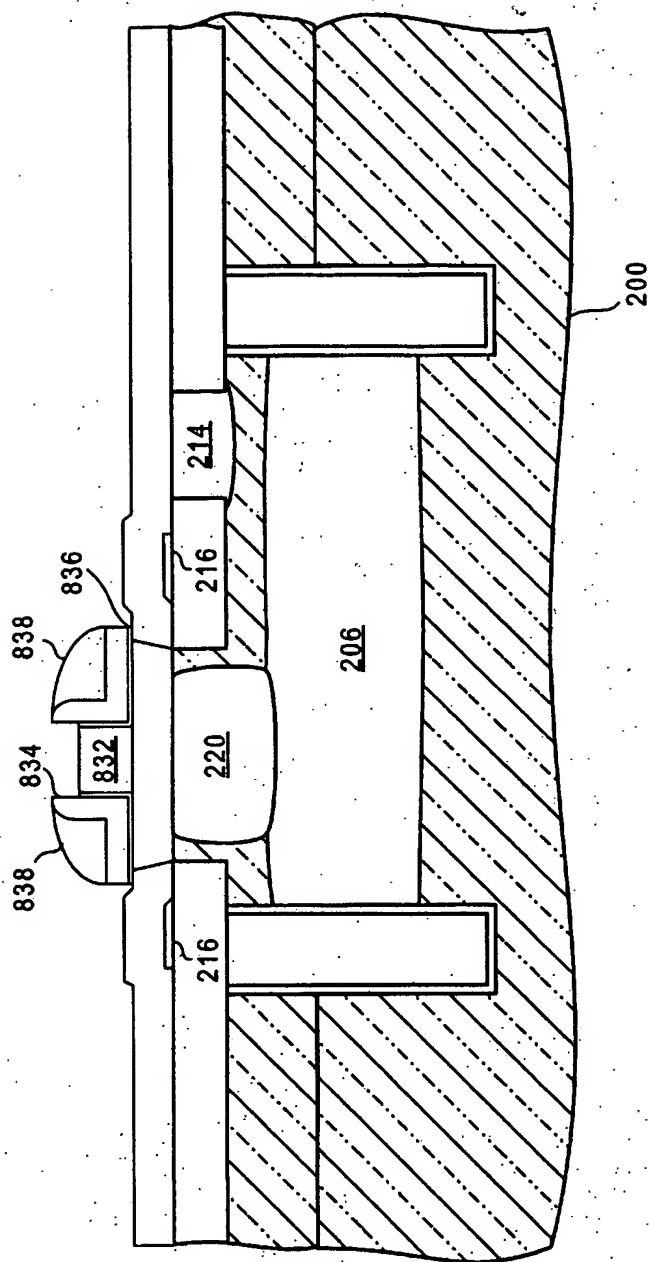


FIG. 27

28/35  
BUR920010036US1

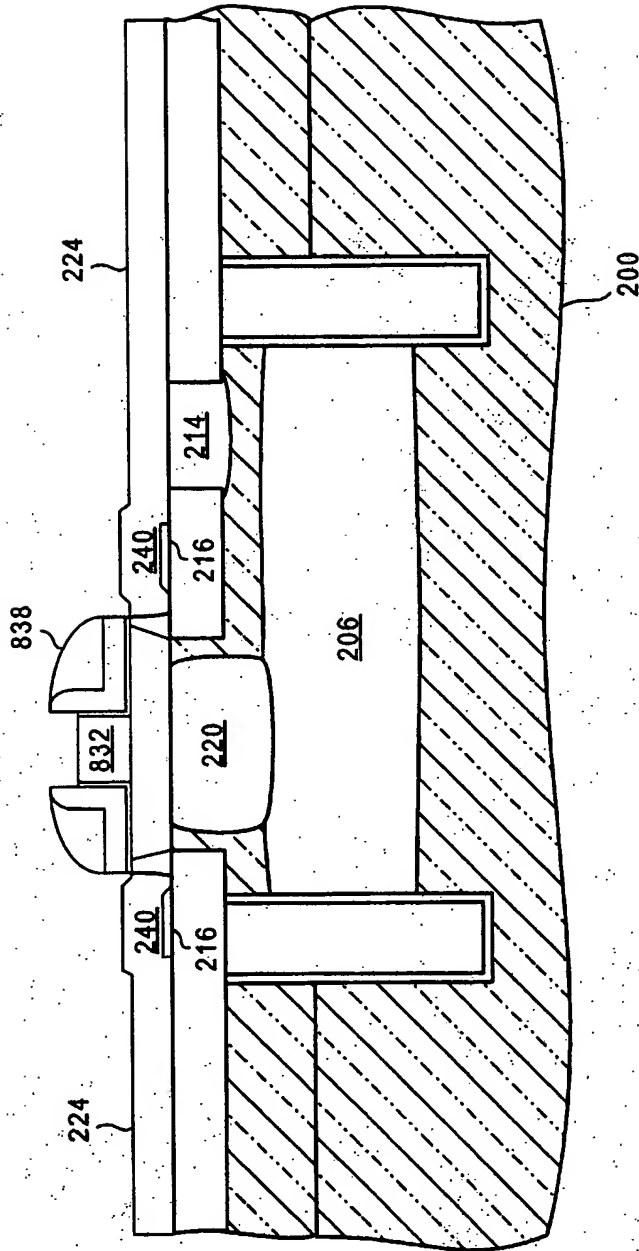


FIG. 28

29/35  
BUR920010036US1

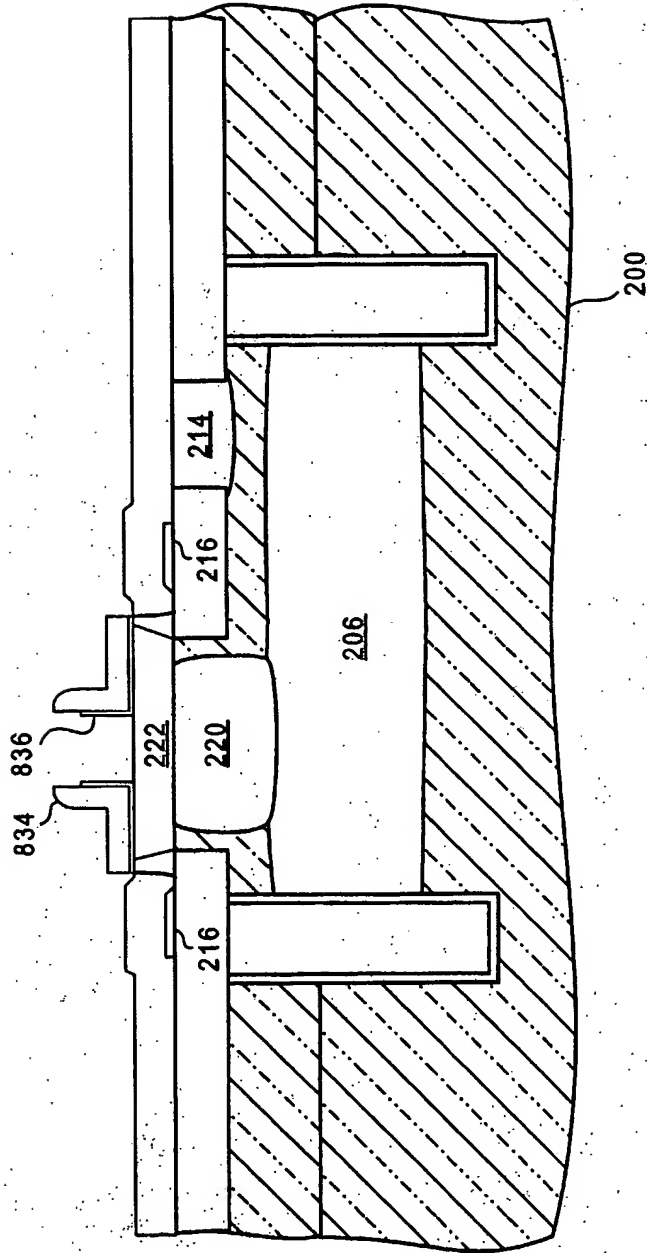


FIG. 29

30/35  
BUR920010036US1

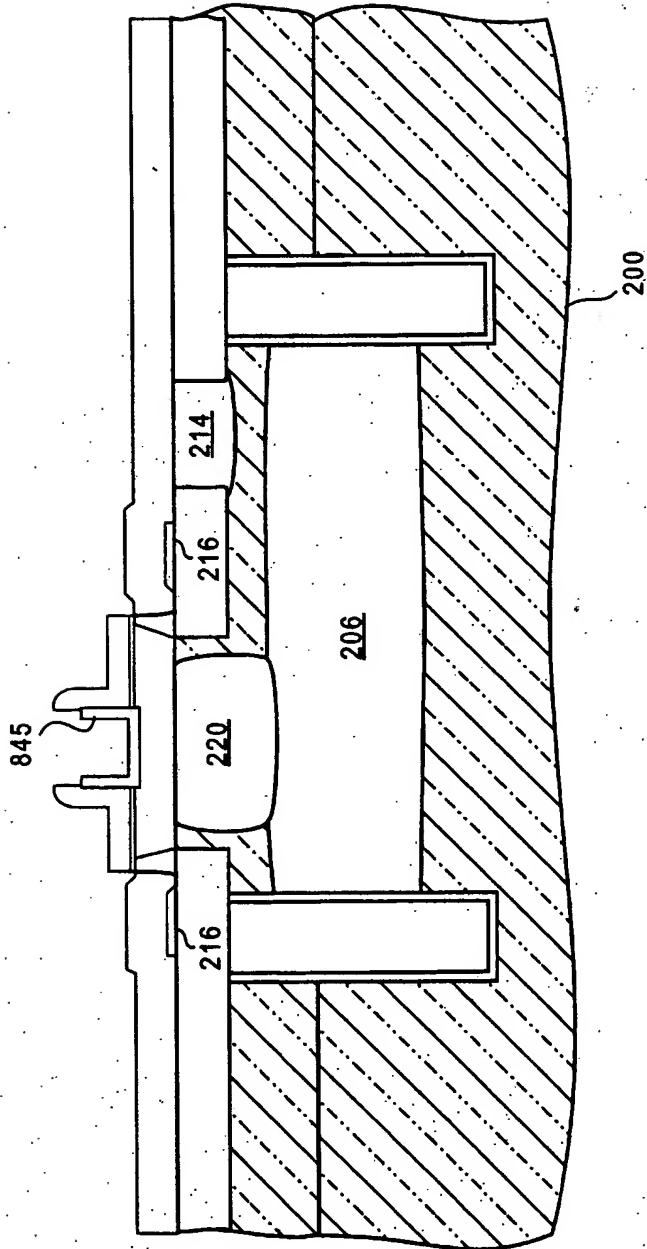


FIG. 30

31/35  
BUR920010036US1

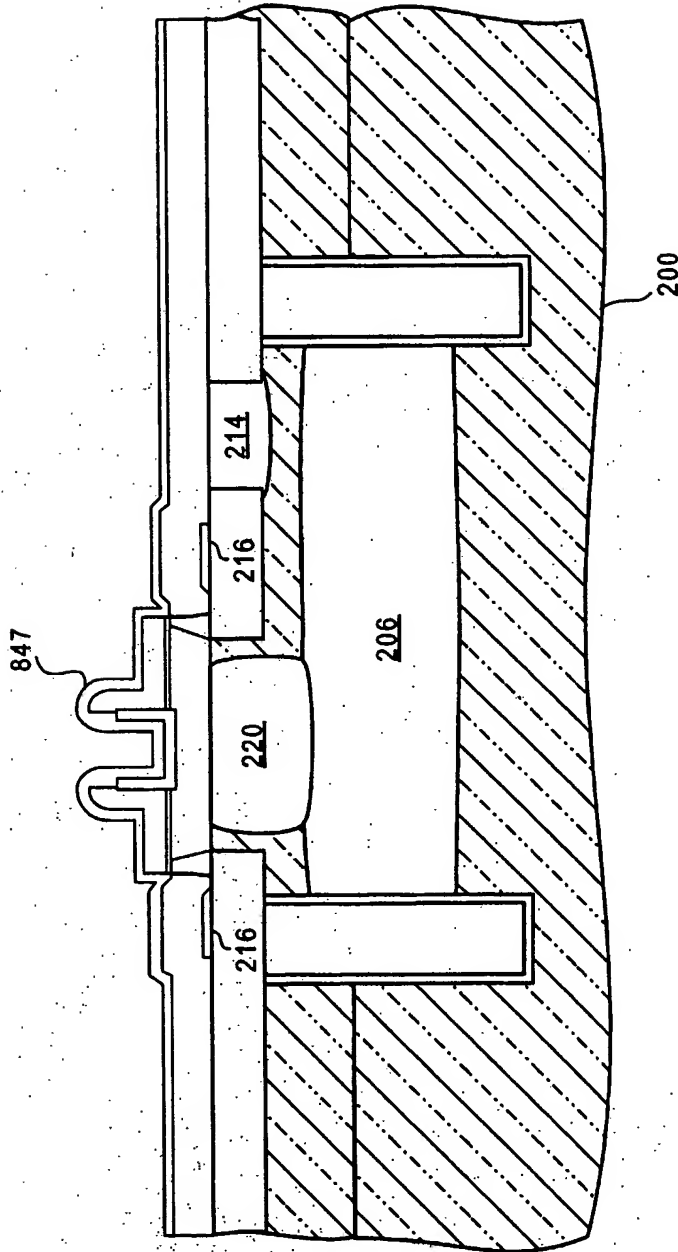


FIG. 31

32/35  
BUR920010036US1

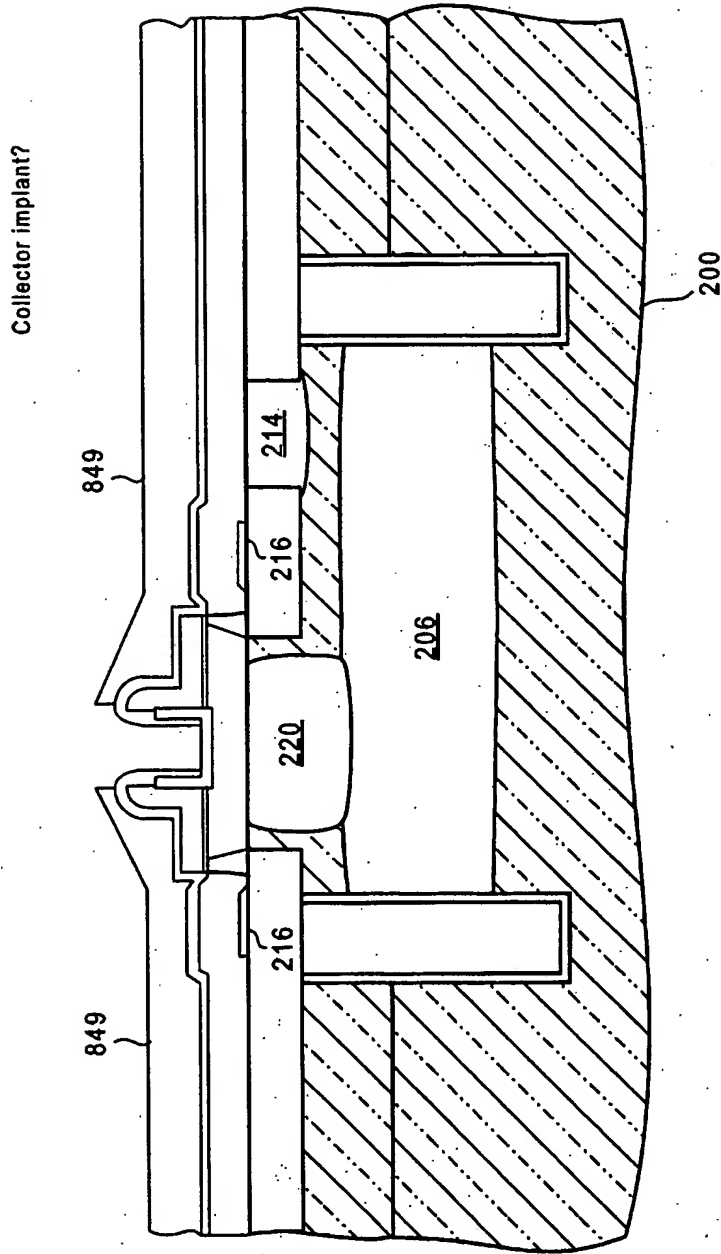


FIG. 32



33/35  
BUR920010036US1

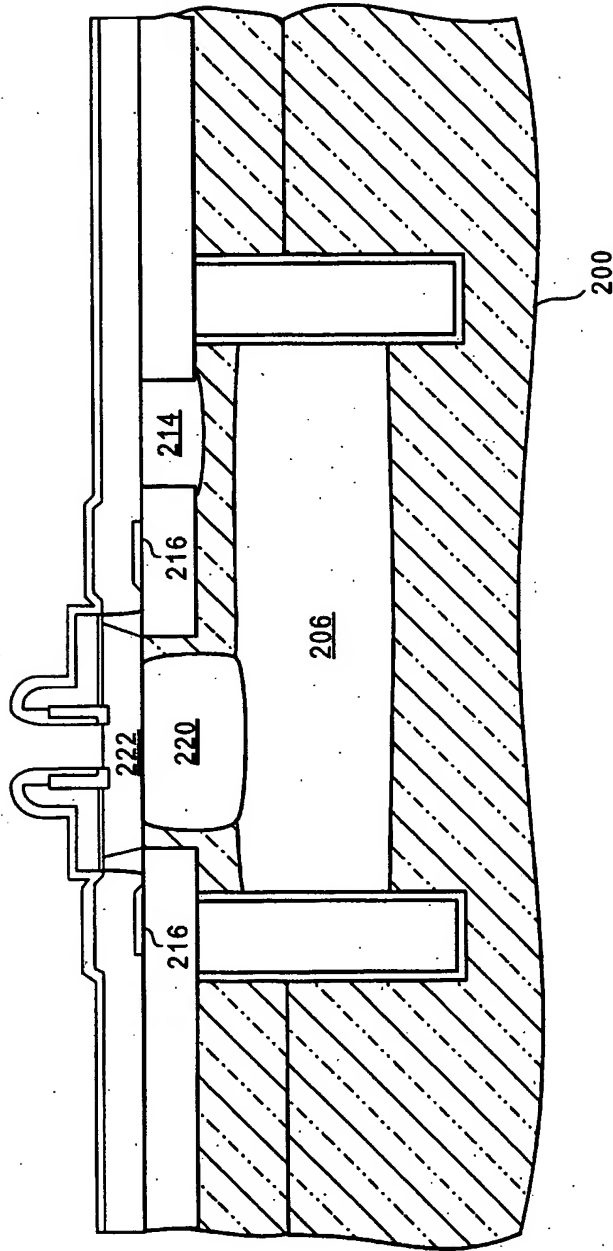


FIG. 33

34/35  
BUR920010036US1

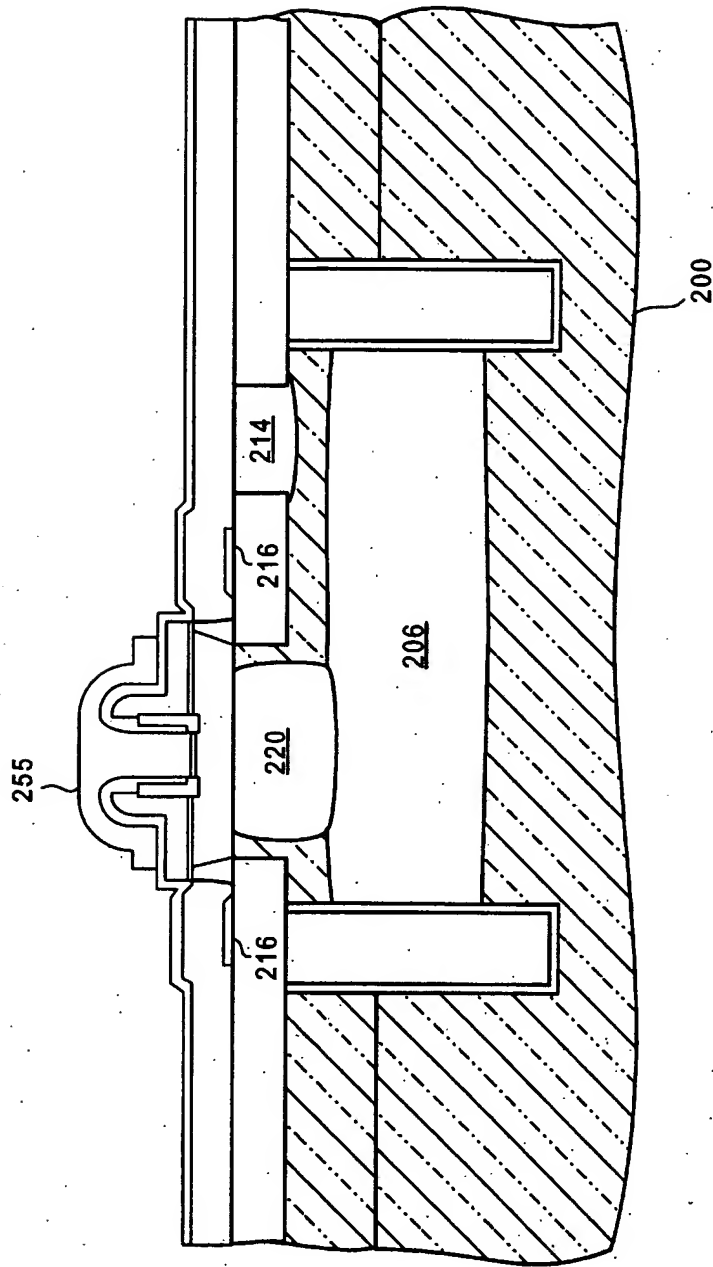


FIG. 34

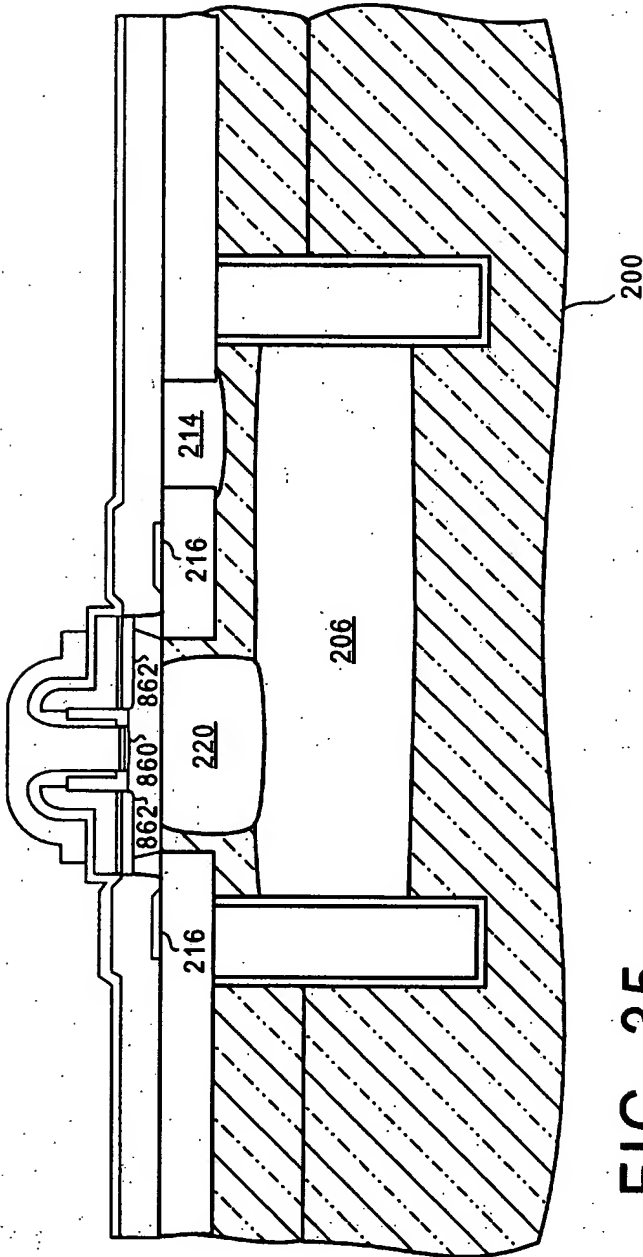


FIG. 35